

This airborne geophysical survey and the production of this map were funded by the Saskatchewan Ministry of Energy and Resources and the GEM-Energie Program of the Earth Sciences Sector, Natural Resources Canada.

Ce levé géophysique aéroporté et la production de cette carte ont été financés par le ministère de l'Énergie et des Ressources de la Saskatchewan et le programme GEM-Energie du Secteur des sciences de la Terre, Ressources naturelles Canada.

GSC OPEN FILE 6808 / DOSSIER PUBLIC 6808 DE LA CGC SMER OPEN FILE 2011-43

GEOPHYSICAL SERIES / SÉRIE DES CARTES GÉOPHYSIQUES

AIRBORNE GEOPHYSICAL SURVEY OF THE NORTHWESTERN ATHABasca BASIN, SASKATCHEWAN
LEVÉ GÉOPHYSIQUE AÉROPORTÉ DE LA PARTIE NORD-OUEST DU BASSIN ATHABasca, SASKATCHEWAN

NTS 74 P/05 Clut Lakes / SNRC 74 P/05 Clut Lakes

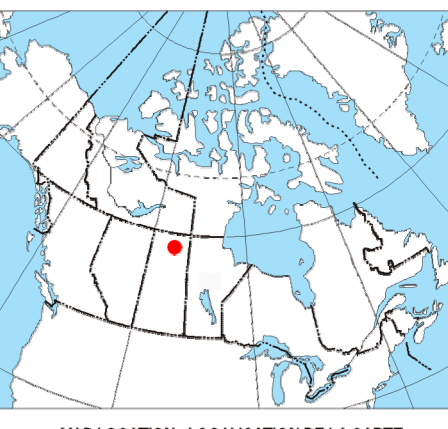
FIRST VERTICAL DERIVATIVE OF THE MAGNETIC FIELD DÉRIVÉE PREMIÈRE VERTICALE DU CHAMP MAGNÉTIQUE

Authors: Fortin, R., Coyle, M., Buckle, J.,
Hefford, S.W. et Delaney, G.

Data acquisition, compilation and map production by Goldak Airborne Surveys, Saskatoon, Saskatchewan. Contract and project management by the Geological Survey of Canada, Ottawa, Ontario.

Auteurs : Fortin, R., Coyle, M., Buckle, J.,
Hefford, S.W. et Delaney, G.

L'acquisition, la compilation des données ainsi que la production des cartes furent effectuées par Goldak Airborne Surveys, Saskatoon, Saskatchewan. La gestion et la supervision du projet furent effectuées par la Commission géologique du Canada, Ottawa, Ontario.



GEM

Introduction

A quantitative gamma-ray spectrometric and aeromagnetic airborne geophysical survey of the Northwestern Athabasca Basin, Saskatchewan, was completed by Goldak Airborne Surveys. The survey was flown from June 24th to September 21st, 2010 using two Piper PA-31 Navajo aircraft (C-GJBA, C-GJBB) and one Cessna Caravan (C-GLDX). The nominal traverse and control line spacings were, respectively, 400 m and 2400 m, and the aircraft flew at a nominal terrain clearance of 125 m at airspeed between 200 and 270 km/h. Traverse lines were oriented 135° with orthogonal control lines. The flight path was recovered following post-flight differential corrections to raw data recorded by a Global Positioning System.

Gamma-ray Spectrometric Data

The airborne gamma-ray measurements were made with a Radiation Solutions RS-500 gamma-ray spectrometer using fourteen 102x102x6 mm NaI (Ti) crystals. The main detector consisted of twelve crystals (total volume 50.4 litres), shielded by the main array, were used to detect variations in background radiation caused by atmospheric radon. The system constantly monitors the natural thorium peak for each crystal, and uses a Gaussian least squares algorithm to adjust the gain for each crystal.

Potassium is measured directly from the 1460 keV gamma-ray photons emitted by K^+ , whereas uranium and thorium are measured indirectly from gamma-ray photons emitted by daughter products (B^{37} for uranium and Tl^{204} for thorium). Although these daughters are far down their respective decay chains, they are assumed to be equilibrium with their parents, thus gamma-ray spectrometric measurements of uranium and thorium are referred to as equivalent uranium and equivalent thorium, i.e. eU and eTh. The energy windows

Gamma-ray spectra were recorded at one-second intervals. Data processing followed standard procedures as described in IAEA, 1991 and IAEA, 2003. During processing, the spectra were energy calibrated, and counts were accumulated in the windows described above. Counts from the radon detectors were recorded in a 1600-1800 keV window, and radiation at energies greater than 3000 keV was recorded in the cosmic window. The window counts were corrected for dead time, background activity from cosmic radiation, radiometric calibration of the aircraft and atmospheric radon dose products. The window data were then corrected for spectral scattering in the ground, air and detectors. Corrections for detector efficiency and energy calibration were applied to the window data prior to conversion to ground concentrations of potassium, uranium and thorium, using factors determined from flights over the Danielsen, Saskatchewan calibration site. The results for potassium, uranium and thorium are listed in Table 1.

	C-GJBA	C-GJBB	C-GLDX
Potassium (cpm%)	25.2	25.2	25.2
Uranium (cpm ppm)	10.48	10.68	10.30
Thorium (cpm ppm)	5.61	5.45	6.57

Table 1 Gamma Ray Spectrometer Sensitivities for each aircraft

Corrected data were filtered and interpolated to a 100 m grid interval. The results of the airborne gamma-ray spectrometer survey represent the average surface concentrations that are influenced by varying amounts of outcrop, overburden, vegetation cover, soil moisture and surface water. As a result the measured concentrations are usually lower than the actual bedrock concentrations. The total air absorbed dose in micrograys per hour was produced from measured counts between 400 and 280 keV.

Magnetic Data

The magnetic field was sampled 10 times per second using a split-referencing vector magnetometer (sensitivity = 0.005 nT) rigidly mounted to the aircraft. Differences in magnetic variation between the two sensors and the mean were calculated using a dual-axis technique. The mean vector was then calculated and the individual sensor values were then removed. Removal of the IGRF, representing the magnetic field of the Earth's core, produces a residual component essentially to magnetizations within the Earth's crust.

The first vertical derivative of the magnetic field in the vertical direction. Computation of the first vertical derivative removes long wavelength features of the magnetic field and significantly improves the resolution of closely spaced and superposed anomalies. A property of first vertical derivative maps is the coincidence of the zero-value contour with vertical contacts of magnetic units at high magnetic latitudes (Hood, 1965).

LEVÉ GÉOPHYSIQUE DE LA PARTIE NORD-OUEST DU BASSIN ATHABasca, SASKATCHEWAN

Introduction

Un levé géophysique aéroporté concernant l'acquisition de données de spectrométrie de gamme et de données magnétiques a été réalisé dans la partie nord-ouest du bassin de l'Athabasca en Saskatchewan par la société Goldak Airborne Surveys. Le levé a été effectué du 24 juin au 21 septembre 2010, à bord de deux avions Piper PA-31 Navajo (C-GJBA, C-GJBB) et d'un Cessna Caravan (C-GLDX). L'espacement nominal des lignes de vol était de 400 m et celui des lignes de contrôle de 2400 m. L'altitude nominale de levé était de 125 m au-dessus du sol et la vitesse était incluse entre 200 km/h et 270 km/h. Les lignes de vol étaient orientées 135° et les lignes de contrôle étaient perpendiculaires. La trajectoire de vol a été résultée par l'application après le vol de corrections différentielles aux données brutes enregistrées avec un récepteur GPS.

Données de spectrométrie de gamme

Le système de mesure de rayonnement gamma principal est composé de douze cristaux (volume total de 50.4 litres), protégé par le revêtement principal, ont été utilisés pour déceler les variations du rayonnement naturel causées par le radon atmosphérique. Le dispositif permettait de faire un suivi constant des pics de thorium pour chacun des cristaux, au moyen d'un algorithme d'ajustement gaussien sur les produits des moinsards carriés, de compenser le gain pour chacun des cristaux.

Le potassium est mesuré directement par les photons gamma de 1460 keV émis par le K^+ , tandis que l'uranium et le thorium sont mesurés indirectement d'après les photons émis par des produits de thorium (B^{37} pour l'uranium et Tl^{204} pour le thorium). Bien que ces radionucléides de thorium se trouvent loin de leur chaîne radioactive de désintégration, les résultats obtenus sont ensuite interprétés dans une grille à maille de 100 m. Le champ géomagnétique international de référence (International Geometric Reference Field, IGRF) défini à l'altitude moyenne de 510 m fournie par les données GPS pour l'année 2010/61 a été soustrait. La trajectoire de l'IGRF n'a pas été utilisée dans les corrections.

Les spectres du rayonnement gamma ont été enregistrés à intervalle d'une seconde. Le traitement des données a suivi les procédures standards décrites dans IAEA, 1991 et IAEA, 2003. Pendant le traitement, les spectres ont été soumis à un ajustement énergétique et les coups ont été cumulés dans les plages décrites ci-dessus. Les coups obtenus à l'aide des capteurs de radon ont été enregistrés dans la plage de 1 600 à 1 800 keV et le rayonnement atmosphérique à des énergies supérieures à 3 000 keV a été enregistré dans la plage de rayonnement atmosphérique de 1 400 keV à 1 600 keV. Les corrections pour les variations de la hauteur de vol prévues et pour les variations de température et de pression ont ensuite été effectuées. Finalement, la conversion en concentrations équivalentes au thorium a été effectuée en utilisant les facteurs déterminés au-dessus de la bande d'émission de Danielsen. Pour la mise en carte, un filtre a été appliqué aux données corrigées, qui ont ensuite été interpolées suivant une grille à maille de 100 m.

Tableau 1. Sensibilités des spectromètres de gamme de chaque avion.

Les résultats d'un levé aéroporté de spectrométrie de gamme représentent les concentrations moyennes à la surface. Ces-ci sont influencées par les étendues variables des couvertures végétales, de la couverture végétale et de l'eau de surface. Par conséquent, les concentrations mesurées sont habituellement plus faibles que les concentrations moyennes dans le sous-sol rocheux.

Données sur le champ magnétique

Le champ magnétique a été déterminé à 10 fois par seconde à l'aide d'un magnétomètre à flux de bobine partagé (sensibilité = 0.005 nT) rigidelement fixé à l'avion. Les différences de valeur du champ magnétique aux intersections des lignes de contrôle et des lignes de levé ont été analysées afin d'obtenir un ensemble de données sur le champ magnétique mutuellement reliées sur les lignes de vol. Ces valeurs reliées ont ensuite été interpolées suivant une grille à maille de 100 m. Le champ géomagnétique international de référence (International Geometric Reference Field, IGRF) défini à l'altitude moyenne de 510 m fournie par les données GPS pour l'année 2010/61 a été soustrait. La trajectoire de l'IGRF n'a pas été utilisée dans les corrections.

La dérivée première verticale du champ magnétique représente le taux auquel varie le champ magnétique suivant la verticale. Le calcul de la densité première verticale supprime les composantes de grande longueur d'onde du champ magnétique et améliore considérablement la résolution des anomalies approches les unes des autres ou superposées. L'une des propriétés des cartes de la dérivée première verticale est la coïncidence de l'isogone de valeur zéro et des contacts verticaux aux hauteurs latitudes magnétiques (Hood, 1965).

Références / Réferences

Hood, P.J. 2003. Gradient measurements in aeromagnetic surveying; Geophysics, v30, p.891-902.

International Atomic Energy Agency, 1991. Airborne gamma ray spectrometer surveys; Technical Reports Series 323, IAEA, Vienna.

International Atomic Energy Agency, 2003. Guide lines for radioelement mapping using gamma ray spectrometry data; Technical Reports Series 1363, IAEA, Vienna.

PLANIMETRIC SYMBOLS		SYMBOLS PLANIMÉTRIQUES	
Drainage Drainage
Highway	—	—	— Autoroute
Flight line	1155 >	1155 >	Ligne de vol

MAP SHEET SUMMARY / SOMMAIRE DES FEUILLES

Sheet	Feuillet	MAP / CARTE
1.	Natural Air Absorbed Dose Rate	Taux d'absorption naturel des rayons gamma dans l'air
2.	Potassium	
3.	Uranium	
4.	Thorium	
5.	Uranium / Thorium	
6.	Uranium / Potassium	
7.	Thorium / Potassium	
8.	Thorium / Potassium	
9.	Total Magnetic Field	Diagramme terrestre des radioéléments
10.	First Vertical Derivative of the Magnetic Field	Dérivée première verticale du champ magnétique
		Dérivée première verticale du champ magnétique total

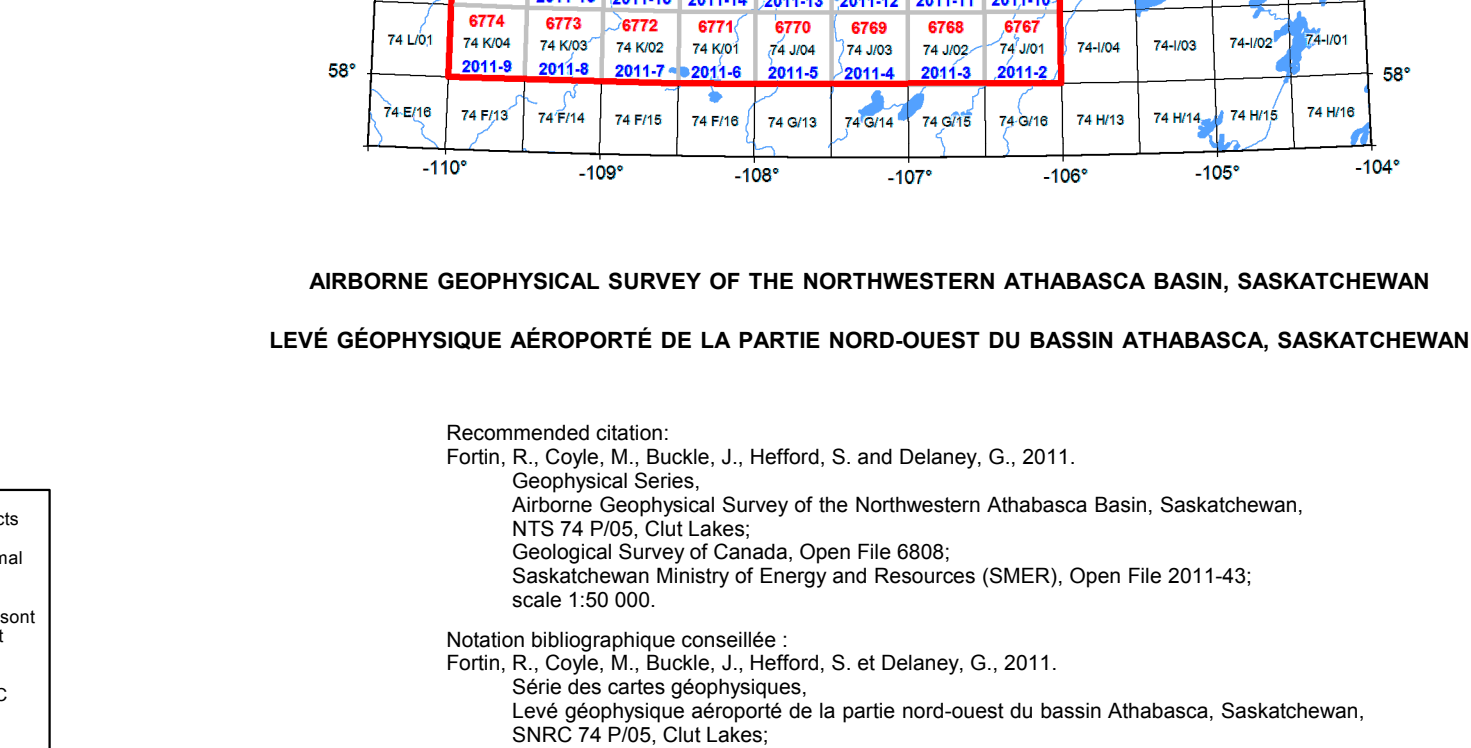
OPEN FILE 2011-43

SASKATCHEWAN MINISTRY OF ENERGY AND RESOURCES

2011

FEUILLET 10 DE 10

FEUILLET 10 DE 10



NATIONAL TOPOGRAPHIC SYSTEM REFERENCE AND GEOPHYSICAL MAP INDEX
SYSTÈME NATIONAL DE RÉFÉRENCE CARTOGRAPHIQUE ET INDEX DES CARTES GÉOPHYSIQUES

Open files are products that have not gone through the formal approval process

Les dossiers publics sont des produits qui n'ont pas encore été approuvés au processus officiel de la Commission géologique du Canada

Notation géophysique canadienne

Fortin, R., Coyle, M., Buckle, J., Hefford, S. et Delaney, G., 2011. Canadian Geophysical Survey of the Northwestern Athabasca Basin, Saskatchewan, NTS 74 P/05 Clut Lakes; Geological Survey of Canada, Open file 6808; Saskatchewan Ministry of Energy and Resources (SMER), Open File 2011-43; scale 1:50 000.

Notes géophysique canadienne

Levé géophysique aéroporté de la partie nord-ouest du bassin Athabasca, Saskatchewan, NTS 74 P/05 Clut Lakes; Commission géologique du Canada, Dossier public 6808; Ministère d'Énergie et des Ressources de la Saskatchewan (SMER), Open File 2011-43; échelle 1:50 000.